

# ВЗАИМОДЕЙСТВИЕ ПОВЕРХНОСТНОЙ И ОБЪЕМНОЙ АКУСТИЧЕСКИХ ВОЛН С ДВУМЕРНЫМ ПОЛУМЕТАЛЛОМ

*B. M. Kovalev<sup>a,b\*</sup>, A. V. Чаплик<sup>a,c</sup>*

<sup>a</sup> Институт физики полупроводников им. А. В. Ржанова Сибирского отделения Российской академии наук  
630090, Новосибирск, Россия

<sup>b</sup> Новосибирский государственный технический университет  
630095, Новосибирск, Россия

<sup>c</sup> Новосибирский государственный университет  
630090, Новосибирск, Россия

Поступила в редакцию 26 августа 2014 г.

Изучается взаимодействие поверхностной упругой волны Рэлея с электрон-дырочной плазмой двумерного полуметалла, обусловленное двумя механизмами взаимодействия — деформационного потенциала и пьезоэффекта. Получены дисперсионные уравнения, описывающие связанные плазмон-акустические моды для обоих типов взаимодействия. Вычислено затухание рэлеевской волны. Рассчитано затухание акустической и оптической плазменных мод, обусловленное излучением звука плазменными колебаниями в объем подложки. Показано, что излучение звука в основном обусловлено акустической плазменной модой в случае деформационного механизма, и оптической — в случае пьезомеханизма.

DOI: 10.7868/S0044451015020145

## 1. ВВЕДЕНИЕ

Недавнее обнаружение [1, 2] двумерного полуметалла в широких квантовых ямах (КЯ) на основе соединения HgTe стимулировало появление ряда теоретических работ, в которых изучались циклотронный резонанс [3], рассеяние носителей заряда [4], свойства фермионных [5] и бозонных (плазмоны) [6] возбуждений, в том числе, в магнитном поле [7].

Настоящая статья посвящена рассмотрению взаимодействия плазменных возбуждений двумерного полуметалла с рэлеевской поверхностной акустической волной (ПАВ), обусловленного деформационным потенциалом и пьезоэлектрическим механизмом, а также излучению объемного звука коллективными возбуждениями двумерной двухкомпонентной плазмы. Взаимодействие поверхностных волн Рэлея и волн Блюштейна–Гуляева с монополярной двумерной плазмой хорошо изучено в литературе [8]. Электрон-дырочная плазма в пьезоэлектрическом поле поверхностной волны изучалась работе [9]. В отличие от нашей постановки, в работе [9] рассмат-

ривалась сильно неравновесная ситуация: в уравнениях учитывались как фотогенерация носителей светом, так и их рекомбинация. В полуметалле ситуация существенно другая. Во-первых, не требуется генерация носителей заряда — благодаря перекрытию зоны проводимости и валентной зоны заселение квантовой ямы носителями обоих знаков возможно соответствующим выбором положения химического потенциала системы т. е., фактически, затворным напряжением. Во-вторых, разнесенные в импульсном пространстве электронная и дырочная долины препятствуют рекомбинации носителей заряда, см. рис. 1. И, наконец, в-третьих, динамика носителей заряда в работе [9] рассматривалась в режиме сильных столкновений с примесями и описывалась статической проводимостью Друде. В таком режиме, как известно, плазменные колебания отсутствуют и авторы [9] рассматривали лишь перенормировку скорости и поглощение ПАВ. Мы будем изучать противоположный бесстолкновительный предел.

На рис. 2 изображена рассматриваемая структура, состоящая из подложки и расположенной на ней квантовой ямы HgTe. Для простоты полагаем, что подложка является изотропной упругой средой, в которой могут распространяться упругие волны, ха-

\*E-mail: vadimkovalev@isp.nsc.ru

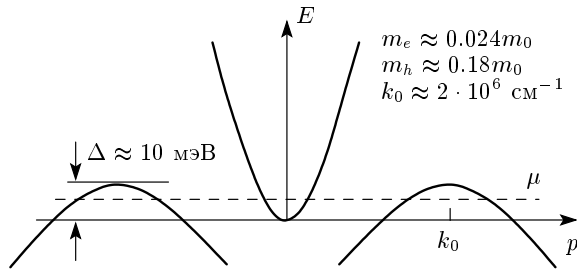


Рис. 1. Зонная структура двумерного полуметалла

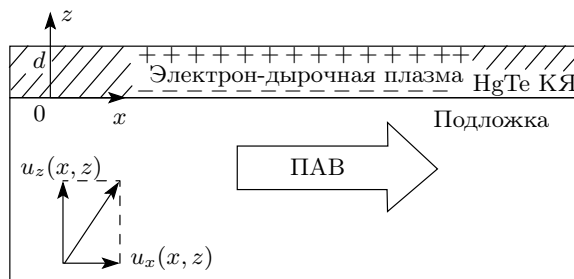


Рис. 2. Взаимодействие ПАВ с электрон-дырочной плазмой двумерного полуметалла

рактеризуемые продольной  $c_l$  и поперечной  $c_t$  скоростями звука. Кроме того, типичные ширина квантовой ямы HgTe в экспериментах [1, 2]  $d \approx 20$  нм, что намного меньше длины рэлеевской волны, поэтому деформацию в пределах квантовой ямы можно считать однородной. Влияние электрон-дырочной плазмы сводится к изменению граничных условий для тензора напряжений  $\sigma_{ij}$  на поверхности  $z = 0$ . В то же время при расчете кулоновского взаимодействия частиц будем полагать, что электроны и дырки разнесены пространственно внутри квантовой ямы на расстояние  $d$ .

## 2. ДЕФОРМАЦИОННОЕ ВЗАИМОДЕЙСТВИЕ

Вектор смещения точек среды  $\mathbf{u}(\mathbf{r}, t)$  удовлетворяет уравнению [10]

$$\ddot{\mathbf{u}} = c_l^2 \Delta \mathbf{u} + (c_l^2 - c_t^2) \operatorname{grad} \operatorname{div} \mathbf{u}. \quad (1)$$

В геометрии рис. 2 решение уравнения (1) для поверхностной волны Рэлея, распространяющейся в направлении оси  $x$ , имеет вид

$$u_x(x, z) = u_x(z) e^{ikx - i\omega t}, \quad u_y = 0,$$

$$u_z(x, z) = u_z(z) e^{ikx - i\omega t},$$

где

$$\begin{aligned} u_z(z) &= -i\kappa_l B e^{\kappa_l z} - ik A e^{\kappa_t z}, \\ u_x(z) &= k B e^{\kappa_l z} + \kappa_t A e^{\kappa_t z}, \\ \kappa_l &= \sqrt{k^2 - \omega^2/c_l^2}, \quad \kappa_t = \sqrt{k^2 - \omega^2/c_t^2}. \end{aligned} \quad (2)$$

Здесь  $A, B$  — произвольные постоянные, значения которых определяются граничными условиями на поверхности упругой среды, которые имеют вид  $\sigma_{ij} \tau_j = f_i$ , где  $\tau_j$  — вектор нормали к поверхности упругой среды,  $\mathbf{f}$  — поверхностная плотность силы, действующей со стороны возмущенной электрон-дырочной плазмы на поверхность упругой среды подложки. Величина силы  $\mathbf{f}$  может быть найдена усреднением соответствующей объемной плотности силы  $\mathbf{F}$  с весом  $\psi^2(z)$  — квадратом волновой функции поперечного движения электрона (дырки) в квантовой яме. При возникновении флюктуации плотности частиц  $N$  на единицу объема упругой среды действует сила [11]  $\mathbf{F} = \lambda \operatorname{grad} N$ , где  $\lambda$  — постоянная деформационного потенциала, которую мы считаем для простоты не зависящей от импульса частиц. Усредняя [12]  $\mathbf{F}$ , получаем  $\mathbf{f} = \lambda \nabla n$ , где  $n$  — поверхностная плотность частиц, зависящая только от координат вдоль поверхности, а  $\nabla$  — двумерный оператор. Таким образом, граничные условия на поверхности подложки  $z = 0$  принимают вид

$$\begin{aligned} \rho c_t^2 \left( \frac{\partial u_x}{\partial z} + \frac{\partial u_z}{\partial x} \right) &= \lambda_e \frac{\partial n}{\partial x} + \lambda_h \frac{\partial p}{\partial x}, \\ c_t^2 \frac{\partial u_z}{\partial z} + (c_l^2 - 2c_t^2) \frac{\partial u_x}{\partial x} &= 0, \end{aligned} \quad (3)$$

где  $n, p$  — флюктуации поверхностных концентраций электронов и дырок,  $\rho$  — плотность упругой среды. Отклонения плотности электронов и дырок от их равновесных значений создают в окружающем пространстве электрическое поле, электрический потенциал которого находится из решения уравнения Лапласа  $\nabla^2 \phi = 0$ , с граничными условиями

$$\begin{aligned} \phi(0^+) &= \phi(0^-), \quad \phi(d^+) = \phi(d^-), \\ \epsilon[\phi'(0^-) - \phi'(0^+)] &= 4\pi e n_{\kappa\omega}, \\ \phi'(d^+) - \epsilon \phi'(d^-) &= -4\pi e p_{\kappa\omega}, \end{aligned} \quad (4)$$

где плотности электронов и дырок, согласно теории линейного отклика,

$$n_{k\omega} = \Pi_{k\omega}[-e\phi(0) + W_{k\omega}^e], \quad p_{k\omega} = P_{k\omega}[e\phi(d) + W_{k\omega}^h].$$

Здесь штрих означает дифференцирование по  $z$ , а потенциальные энергии электрона и дырки в деформационном поле волны определяются выражениями

$$\begin{aligned} W_{k\omega}^h &= \lambda_i(\operatorname{div} \mathbf{u})_{z=d} = \lambda_i(iku_x + \partial_z u_z)|_{z=d}, \\ W_{k\omega}^e &= \lambda_i(\operatorname{div} \mathbf{u})_{z=0} = \lambda_i(iku_x + \partial_z u_z)|_{z=0}. \end{aligned} \quad (5)$$

Поляризационный оператор электронов

$$\begin{aligned} \Pi_{k\omega} = -\frac{m_e}{\pi} \left( 1 - \frac{|\omega|\theta[\omega^2 - k^2 v_e^2]}{\sqrt{\omega^2 - k^2 v_e^2}} + \right. \\ \left. + i \frac{|\omega|\theta[k^2 v_e^2 - \omega^2]}{\sqrt{k^2 v_e^2 - \omega^2}} \right), \end{aligned} \quad (6)$$

где  $v_e$  — скорость Ферми электронов. Поляризационный оператор дырок  $P_{k\omega}$  отличается от (6) заменой  $m_e, v_e \rightarrow m_h, v_h$ . Выражение (6) применимо в области  $k \ll m_e v_e, \omega \ll m_e v_e^2/2$ .

Как уже указывалось выше, длина акустической волны намного превышает ширину квантовой ямы  $d$ . В такой ситуации можно пренебречь конечной шириной ямы в выражении для  $W^h$  в (5) и вычислять его при  $z = 0$ . Отметим однако, что такое приближение неприменимо для вычисления кулоновского взаимодействия электронов и дырок, т. е. нельзя считать  $\phi(d) = \phi(0)$  в граничных условиях, так как в этой ситуации акустическая плазменная ветвь исчезает [6].

Подставляя найденные плотности электронов и дырок, а также компоненты вектора смещения из (2) в граничные условия (3), получаем дисперсионное уравнение

$$\Delta(k, \omega)f(k, \omega) = \frac{2(\omega k)^2 \kappa_t}{\rho c_t^2 c_l^2} S(k, \omega), \quad (7)$$

где

$$f(k, \omega) = (\kappa_t^2 + k^2)^2 - 4\kappa_l \kappa_t k^2, \quad (8)$$

$$\begin{aligned} \Delta(k, \omega) = & \left( 1 - \frac{2\pi e^2 \Pi_{k\omega}}{\epsilon k} \right) \left( 1 - \frac{4\pi e^2 P_{k\omega}}{(\epsilon+1)k} \right) - \\ & - \frac{2\pi e^2 \Pi_{k\omega}}{\epsilon(\epsilon+1)k} \left( \epsilon - 1 + \frac{4\pi e^2 P_{k\omega}}{k} \right) e^{-2kd}, \end{aligned}$$

$$\begin{aligned} S(k, \omega) = & \lambda_e^2 \Pi_{k\omega} (1 - v_k P_{k\omega}) + \lambda_h^2 P_{k\omega} (1 - v_k \Pi_{k\omega}) - \\ & - 2\lambda_e \lambda_h v_k \Pi_{k\omega} P_{k\omega}, \end{aligned}$$

где  $v_k = 4\pi e^2/k(\epsilon+1)$ . При вычислениях в (8) мы для простоты везде положили  $d = 0$  за исключением величины  $\Delta(k, \omega)$ , поскольку, будучи детерминантом

системы уравнений (4), она определяет закон дисперсии обеих плазменных ветвей.

В отсутствие связи плазмы и упругой волны, т. е. при  $\lambda_e = \lambda_h = 0$  имеем  $S(k, \omega) = 0$  и дисперсионное уравнение распадается на два условия  $\Delta(k, \omega) = 0$  и  $f(k, \omega) = 0$ , которые описывают независимо соответственно плазменные акустическую и оптическую моды [6] и рэлеевскую волну [10]. Действительно, (см. [10]) дисперсия звука описывается выражением  $\omega = \xi c_t k$ , где  $\xi$  удовлетворяет соотношению  $f(k, \omega = \xi c_t k) = k^4 f(\xi) = 0$  и

$$f(\xi) = (2 - \xi^2)^2 - 4\sqrt{1 - \xi^2} \sqrt{1 - \frac{c_t^2}{c_l^2} \xi^2}. \quad (9)$$

Плазменные моды легко получаются как решения уравнения  $\Delta(k, \omega) = 0$  в пределе  $\omega \gg k v_e, k v_h$ ,

$$\begin{aligned} \omega_{ac} &= sk, \quad s = v_e v_h \sqrt{\frac{\epsilon+1}{\epsilon} \frac{d}{a_e v_h^2 + a_h v_e^2}}, \\ \omega_{opt} &= \sqrt{k \left( \frac{v_e^2}{a_e} + \frac{v_h^2}{a_h} \right)}. \end{aligned} \quad (10)$$

Здесь  $a_{e,h} = (\epsilon+1)/2m_{e,h}e^2$  — боровские радиусы электронов и дырок, и, кроме того, при вычислении выражения для акустической моды мы считали, что  $kd \ll 1$ . Теперь рассмотрим поглощение ПАВ и затухание плазменных мод при учете их взаимодействия. Будем предполагать всюду выполнение неравенств  $c_t, c_l \ll v_e, v_h$ .

### 3. АКУСТИЧЕСКАЯ ОБЛАСТЬ ЧАСТОТ

Исследуем сначала область частот, характерную для акустической волны, т. е.  $\omega \sim (c_t, c_l)k \ll \ll (v_e, v_h)k$  и, кроме этого, для простоты можно принять  $d = 0$ . В этой области выражение (6) упрощается,

$$\begin{aligned} \Pi_{k\omega} &\approx -\frac{m_e}{\pi} \left( 1 + i \frac{|\omega|}{kv_e} \right), \\ P_{k\omega} &\approx -\frac{m_h}{\pi} \left( 1 + i \frac{|\omega|}{kv_h} \right), \end{aligned} \quad (11)$$

и, подставляя в (7)  $\omega = \xi c_t k$ , получаем

$$\begin{aligned} f(\xi) &= \frac{2k}{\rho c_l^2} \xi \sqrt{1 - \xi^2} \times \\ &\times \frac{\lambda_e^2 \Pi_\xi + \lambda_h^2 P_\xi - v_k \Pi_\xi P_\xi (\lambda_e + \lambda_h)^2}{1 - v_k (\Pi_\xi + P_\xi)}, \\ P_\xi &= -\frac{m_h}{\pi} \left( 1 + i \frac{c_t}{v_h} \xi \right), \\ \Pi_\xi &= -\frac{m_e}{\pi} \left( 1 + i \frac{c_t}{v_e} \xi \right). \end{aligned} \quad (12)$$

Выражение (12) дает мнимую и действительную поправки к  $\xi$ , определяя тем самым поправку к закону дисперсии рэлеевской волны и ее затухание. Наличие множителя  $k$  в числителе (12) позволяет решать это уравнение итерациями в длинноволновой области  $k \rightarrow 0$ . Представим левую часть (12) в виде  $f(\xi_0 + \delta\xi) \approx f(\xi_0) + f'(\xi_0)\delta\xi$ , где  $\xi_0$  — решение уравнения (9)  $f(\xi_0) = 0$ . Тогда поправка  $\delta\xi$  определяется правой частью (12) с заменой  $\xi \rightarrow \xi_0$  и  $k = \omega/\xi_0 c_t$ :

$$\begin{aligned} \delta\xi &= \frac{2\omega}{f'(\xi_0)\rho c_l^2 c_t} \sqrt{1 - \xi_0^2} \times \\ &\times \frac{\lambda_e^2 \Pi_{\xi_0} + \lambda_h^2 P_{\xi_0} - v_k \Pi_{\xi_0} P_{\xi_0} (\lambda_e + \lambda_h)^2}{1 - v_k (\Pi_{\xi_0} + P_{\xi_0})}. \end{aligned} \quad (13)$$

В общем случае выделение мнимой и действительной частей (13) очень громоздко. Поскольку  $v_k \operatorname{Re} \Pi_{\xi_0} = -2/ka_e$  и  $v_k \operatorname{Re} P_{\xi_0} = -2/ka_h$ , мы рассмотрим предельные случаи  $ka_e, ka_h \gg 1$  и  $ka_e, ka_h \ll 1$ . В первом случае имеем  $v_k \Pi_{\xi_0}, v_k P_{\xi_0} \ll 1$ , и, отбрасывая третью слагаемое в числителе и заменяя знаменатель единицей в (13), для затухания волны  $\omega'' = \omega \operatorname{Im}(\delta\xi/\xi_0)$  получаем

$$\omega'' = -\frac{2\omega^2 \sqrt{1 - \xi_0^2}}{\pi f'(\xi_0)\rho c_l^2} \left( \frac{m_e \lambda_e^2}{v_e} + \frac{m_h \lambda_h^2}{v_h} \right). \quad (14)$$

В обратном предельном случае выполняется неравенство  $v_k \Pi_{\xi_0}, v_k P_{\xi_0} \gg 1$  и, пренебрегая в числителе первыми двумя слагаемыми и единицей в знаменателе, получаем

$$\begin{aligned} \omega'' &= -\frac{2\omega^2 \sqrt{1 - \xi_0^2}}{\pi f'(\xi_0)\rho c_l^2} \frac{m_e m_h (\lambda_e + \lambda_h)^2}{(m_e + m_h)^2} \times \\ &\times \left[ \frac{m_h}{v_e} + \frac{m_e}{v_h} \right]. \end{aligned} \quad (15)$$

В формулах (14) и (15)  $\omega = \xi_0 c_t k$ . Кроме этого отметим, что численный анализ, который мы не приводим, показывает, что  $f'(\xi_0) > 0$  во всей области изменения  $\xi_0$ .

#### 4. ПЛАЗМЕННАЯ ОБЛАСТЬ ЧАСТОТ

Теперь рассмотрим область частот, соответствующую плазменным модам  $\omega > k(v_e, v_h)$ . Оптическая мода соответствует пределу  $\omega \gg k(v_e, v_h)$ , когда радикал в (6) можно разложить:

$$P_{k\omega} \approx \frac{m_h k^2 v_e^2}{2\pi\omega^2}, \quad P_{k\omega} \approx \frac{m_h k^2 v_h^2}{2\pi\omega^2}, \quad (16)$$

а поскольку  $v_e, v_h \gg c_t, c_l$ , также упрощаются выражения для  $f$  и  $S$ :

$$\begin{aligned} f(k, \omega) &\approx \frac{\omega^4}{c_t^4}, \\ S(k, \omega) &\approx \frac{k^2}{2\pi\omega^2} (m_e v_e^2 \lambda_e^2 + m_h v_h^2 \lambda_h^2). \end{aligned} \quad (17)$$

Кроме того, в дисперсионном уравнении (7) выражение под корнем в  $\kappa_t$  становится отрицательным, и мы выбираем знак минус перед корнем так, чтобы  $\exp(\kappa_t z)$  в (2) переходила в  $\exp(-i|\kappa_t|z)$ , что соответствует испусканию оптическим плазмоном звуковых волн в объем  $z < 0$  подложки.

Подставляя (16) и (17) в (7), получаем

$$\omega^2 = \omega_{opt}^2 - i \frac{2c_t k^4}{2\pi\rho c_l^2 \omega_{opt}^2} (m_e v_e^2 \lambda_e^2 + m_h v_h^2 \lambda_h^2), \quad (18)$$

что для затухания плазменной волны  $\omega'' = \operatorname{Im} \omega$  дает

$$\begin{aligned} \omega'' &= -\frac{c_t k^4}{2\pi\rho c_l^2 \omega_{opt}^2} (m_e v_e^2 \lambda_e^2 + m_h v_h^2 \lambda_h^2) \sim \\ &\sim k^3 \sim \omega^6. \end{aligned} \quad (19)$$

Теперь рассмотрим акустическую плазменную моду. Ищем решение (7) в виде  $\omega = uk$ , тогда для определения величины  $u$  в длинноволновом пределе  $k \rightarrow 0$  получаем уравнение

$$\begin{aligned} &\left[ a_h \frac{\sqrt{u^2 - v_h^2}}{\sqrt{u^2 - v_h^2} - u} + a_e \frac{\sqrt{u^2 - v_e^2}}{\sqrt{u^2 - v_e^2} - u} + 4d \right] \times \\ &\times \left[ \left( 2 - \frac{u^2}{c_t^2} \right)^2 - 4 \sqrt{\left( 1 - \frac{u^2}{c_t^2} \right) \left( 1 - \frac{u^2}{c_l^2} \right)} \right] + \\ &+ \frac{2ku^2}{\rho c_l^2 c_t^2} \sqrt{1 - \frac{u^2}{c_t^2}} (\lambda_e + \lambda_h)^2 (m_e a_e + m_h a_h) = 0. \end{aligned} \quad (20)$$

В отсутствие связи с упругой волной ( $\lambda_e = \lambda_h = 0$ ), как показано в работе [13], звуковая плазменная ветвь не имеет затухания при условии  $u > v_e, v_h$ . При наличии взаимодействия с ПАВ, как видно из (19), у акустического плазмона появляется затухание, обусловленное появлением мнимости в  $\kappa_t$ :

при  $u > (v_e, v_h) > (c_t, c_l)$  имеем во втором слагаемом  $\sqrt{1 - u^2/c_t^2} = -i\sqrt{u^2/c_t^2 - 1}$ . Физически рассмотренный механизм затухания обеих плазменных мод связан с испусканием упругой волны в объем подложки. Это затухание является дополнительным к столкновительному (рассеянию электронов и дырок) и к затуханию Ландау и обусловлено тем, что система двумерный газ + упругая подложка образуют открытый резонатор. На примере монополярной плазмы оно было исследовано в работах одного из авторов и М. В. Крашенинникова [14]. Двумерные плазменные волны действуют на упругий континуум как сила, сосредоточенная на поверхности и монохроматически зависящая от координат и времени. Излучение упругих волн в объем есть частный случай трансформации волн, которая возникает, когда фазовая скорость плазмона превышает скорость звука. Условия фазового синхронизма требуют совпадения частот обеих волн, а также равенства волнового вектора плазмона и проекции волнового вектора звука на направление распространения плазмона. Поскольку скорости плазмона и звука сильно различаются, звук излучается практически перпендикулярно поверхности (тангенс угла равен отношению фазовых скоростей).

Затухание акустической плазменной ветви  $\omega'' = \omega \operatorname{Im}(u/s)$  может быть легко получено из (19) в пределе  $u \gg (v_e, v_h)$ . Простые вычисления дают

$$\omega'' = -\frac{c_t k^2 (\lambda_e + \lambda_h)^2}{2\pi\rho c_t^2 s^2} \frac{v_e^2 v_h^2 (m_e a_e + m_h a_h)}{v_e^2 a_h + v_h^2 a_e} \sim k^2 \sim \omega^2, \quad (21)$$

т. е. затухание акустического плазмона сильнее, чем оптического.

## 5. ПЬЕЗОЭЛЕКТРИЧЕСКИЙ МЕХАНИЗМ

Для правильного учета пьезоэффекта требуется принять во внимание кристаллическую анизотропию подложки. Такой подход приводит к очень громоздким уравнениям и выкладкам. Для упрощения рассмотрения задачи, следуя работе [15], воспользуемся приближением акустической изотропии кристалла, т. е. с точки зрения механической части задачи подложку будем описывать снова уравнениями изотропной упругой среды, а в слагаемых, описывающих пьезополе, учитываем анизотропию. Полагаем, что подложка изготовлена из кристалла кубической симметрии и волна распространяется в пьезоактивном направлении [110] (направление оси  $x$  на рис. 2) на поверхности [001] (плоскость  $z = 0$ ),

не проникая в область  $0 < z < d$ . Взаимодействие ПАВ с электрон-дырочной плазмой, находящейся в области  $0 < z < d$ , осуществляется посредством пьезополя. В такой геометрии уравнения, описывающие электрическое поле и движение кристалла, после отделения множителя  $e^{ikx-i\omega t}$  имеют вид

$$\begin{aligned} (\omega^2 - c_t^2 k^2) u_x + c_t^2 u''_x + (c_t^2 - c_l^2) iku'_z - \\ - 2i\beta k \phi'/\rho = 0, \\ (\omega^2 - c_t^2 k^2) u_z + c_t^2 u''_z + (c_t^2 - c_l^2) iku'_x + \\ + k^2 \beta \phi/\rho = 0, \\ \epsilon(z)(\phi'' - k^2 \phi) + 8\pi\beta(iku'_x - u_z k^2/2) = 0. \end{aligned} \quad (22)$$

Они дополняются граничными условиями на механическую часть (в механическом смысле поверхность  $z = 0$  считается свободной):

$$\begin{aligned} \rho c_t^2 (u'_x + iku_z) - i\beta k \phi = 0, \\ (c_t^2 - 2c_l^2) iku_x + c_t^2 u'_z = 0, \end{aligned} \quad (23)$$

и электрическую часть:

$$\begin{aligned} \phi(0^+) = \phi(0^-), \quad \phi(d^+) = \phi(d^-), \\ \epsilon[\phi'(0^+) - \phi'(0^-)] - 4\pi\beta iku_x(0^-) = 4\pi e n_{\kappa\omega}, \\ \phi'(d^+) - \epsilon\phi'(d^-) = -4\pi e p_{\kappa\omega}, \end{aligned} \quad (24)$$

где  $n_{\kappa\omega} = -e\phi(0)\Pi_{\kappa\omega}$ ,  $p_{\kappa\omega} = e\phi(d)P_{\kappa\omega}$ . Даже в такой упрощенной постановке решение этих уравнений представляет собой довольно сложную задачу. Мы воспользуемся слабостью пьезоэфекта (критерий будет указан ниже). Слагаемые, содержащие пьезомодуль  $\beta$  в уравнениях (22), будем считать возмущением. Тогда решения уравнений (22) можно представить в виде

$$\begin{aligned} u_x(z) &= u_x^0(z) + \delta u_x(z), \\ u_z(z) &= u_z^0(z) + \delta u_z(z), \\ \phi(z) &= \phi^0(z) + \delta\phi(z), \end{aligned} \quad (25)$$

где невозмущенные решения для вектора смещения среды даются выражениями (2), а потенциал

$$\phi^0(z) = \begin{cases} Ce^{-kz} & z > d, \\ Ee^{-kz} + Fe^{kz} & 0 < z < d, \\ De^{kz} & z < 0. \end{cases} \quad (26)$$

Поправки к невозмущенным решениям находятся из уравнений (22) в первом приближении по  $\beta$ :

$$\begin{aligned} \delta\phi(z) &= a_1 A e^{\kappa_t z} + a_2 B e^{-\kappa_t z}, \\ \delta u_x(z) &= b_1 D e^{kz}, \\ \delta u_y(z) &= b_2 D e^{kz}, \end{aligned} \quad (27)$$

где постоянные имеют вид

$$\begin{pmatrix} b_1 \\ b_2 \end{pmatrix} = \frac{\beta k^2}{\rho \omega^4} \begin{pmatrix} 2i\omega^2 + 3i(c_l^2 - c_t^2)k^2 \\ -\omega^2 + 3(c_l^2 - c_t^2)k^2 \end{pmatrix},$$

$$\begin{pmatrix} a_1 \\ a_2 \end{pmatrix} = \frac{4\pi\beta}{\varepsilon} ik \begin{pmatrix} \frac{2\kappa_t^2 + k^2}{k^2 - \kappa_t^2} \\ \frac{3k\kappa_l}{k^2 - \kappa_l^2} \end{pmatrix}. \quad (28)$$

Подставляя эти решения в граничные условия (23), (24) и удерживая снова слагаемые не выше первой степени по  $\beta$ , получаем дисперсионное уравнение

$$\Delta_{k\omega} f_{k\omega} = \gamma k L_{k\omega}, \quad (29)$$

где  $\gamma = 4\pi\beta^2/\rho c_t^2(\epsilon + 1)$  — коэффициент электромеханической связи. Критерием слабости пьезоэффекта, используемым выше, служит неравенство  $\gamma \ll 1$ . Правая часть дисперсионного уравнения имеет вид

$$\begin{aligned} L_{k\omega} = & \left[ 1 - \frac{c_t^2 k^2}{\omega^2} \left( 1 + \frac{6(c_l^2 - c_t^2)k^2}{\omega^2} \right) \right] \times \\ & \times \left[ (\kappa_t^2 + k^2) \left( \kappa_t - \frac{2\kappa_t^2 + k^2}{k + \kappa_t} \right) - 2k\kappa_t \left( k - \frac{3k\kappa_l}{k + \kappa_l} \right) \right] + \\ & + \frac{c_l^2 k^2}{\omega^2} \left[ 3 - 2\frac{c_t^2}{c_l^2} \left( 2 + \frac{3(c_l^2 - c_t^2)k^2}{\omega^2} \right) \right] \times \\ & \times \left[ (\kappa_t^2 + k^2) \left( k - \frac{3k\kappa_l}{k + \kappa_l} \right) - \right. \\ & \left. - 2k\kappa_l \left( \kappa_t - \frac{2\kappa_t^2 + k^2}{k + \kappa_t} \right) \right]. \quad (30) \end{aligned}$$

При анализе дисперсионного уравнения, как и выше, будем рассматривать акустическую и плазменную области частот.

## 6. АКУСТИЧЕСКАЯ ОБЛАСТЬ

В этой области  $\omega = \xi c_t k \ll (v_e, v_h)k$  и вычисления аналогичны изложенным выше для механизма деформационного потенциала. Опуская вычисления, приводим результат

$$\omega'' = -\gamma \frac{2(c_t \xi_0)^2 L_{\xi_0}}{\xi_0 f'(\xi_0)} \frac{(v_e a_e)^{-1} + (v_h a_h)^{-1}}{\left( 1 + \frac{2}{ka_e} + \frac{2}{ka_h} \right)_{k=\omega/\xi_0 c_t}^2 + \left( \frac{2c_t \xi_0}{ka_e v_e} + \frac{2c_t \xi_0}{ka_h v_h} \right)_{k=\omega/\xi_0 c_t}^2}. \quad (31)$$

Из этого выражения видно, что при  $ka_e, ka_h \ll 1$  поглощение  $\omega'' \sim \omega^2$ , а в области  $ka_e, ka_h \gg 1$  не зависит от частоты.

## 7. ПЛАЗМЕННАЯ ОБЛАСТЬ

Затухание плазмонов, как и выше, обусловлено появлением мнимости в  $\kappa_t$  в плазменной области частот, что соответствует испусканию объемной звуковой волны. Для оптического плазмона  $\omega \approx \omega_{opt}$  величина  $L_{k\omega} \approx -i\omega^3/c_t^3$ . Упрощая левую часть дисперсионного уравнения так же, как и выше, получаем

$$\omega = \omega_{opt} - i\gamma \frac{c_t k}{2}, \quad \omega'' \sim \omega^2, \quad (32)$$

т. е. затухание оптического плазмона линейно по частоте, в отличие от выражения (19). Приведем также затухание акустического плазмона

$$\omega'' = -\gamma \frac{c_t k^2}{2} s^2 \frac{a_e a_h}{v_e^2 a_h + v_h^2 a_e} \sim \omega^2. \quad (33)$$

Видим, что в случае пьезоэффекта, наоборот, оптический плазмон затухает сильнее акустического.

Качественно такую разницу в генерации объемной акустической волны двухкомпонентной плазмой можно объяснить следующим образом.

Генерация объемной звуковой волны при пьезоэлектрическом взаимодействии плазмы и колебаний решетки происходит за счет электрического поля, создаваемого флуктуациями плотности частиц при плазменных колебаниях полуметалла. Очевидно, что электрическое поле оптического плазмона значительно превышает поле акустического, что связано с противофазным колебанием плотностей электронов и дырок в оптической плазменной моде в отличие от синфазных колебаний в акустической. Таким образом, генерация звука оптическим плазмом эффективнее, что и приводит к более сильному затуханию оптических плазмонов ( $\omega'' \sim k$ ) в сравнении с акустическими ( $\omega'' \sim k^2$ ).

В случае же деформационного взаимодействия генерация объемного звука обусловлена действием силы со стороны носителей заряда на решетку, величина которой пропорциональна сумме градиентов флуктуаций плотности частиц (см. правую часть уравнения (3)). В акустической плазменной моде

градиенты флуктуаций плотности дырок и электронов направлены в одну сторону, а в оптической — противоположно. В такой ситуации сила, действующая на решетку со стороны акустического плазмона, превышает силу оптического (при совпадающих знаках постоянных деформационного потенциала), что приводит к более эффективной генерации звука акустическим плазмоном и, как следствие, к его большему затуханию ( $\omega_{ac}'' \sim k^2$ ,  $\omega_{opt}'' \sim k^3$ ).

Что касается затухания ПАВ в отсутствие рассения электронов (в отличие от [9]), то его физический механизм очевиден: ПАВ «раскачивает» плазму на частоте  $\omega = \xi_0 c_l k \ll kv_{e,h}$ , при которой плазмон не является «хорошой» квазичастицей из-за сильного затухания Ландау.

Работа выполнена при финансовой поддержке РФФИ (грант № 13-02-12148офи-м).

## ЛИТЕРАТУРА

1. З. Д. Квон, Е. Б. Ольшанецкий, Д. А. Козлов и др., Письма в ЖЭТФ **87**, 588 (2008).
2. Е. Б. Ольшанецкий, З. Д. Квон, М. В. Энтин и др., Письма в ЖЭТФ **89**, 338 (2009).
3. Р. З. Витлина, Л. И. Магарилл, А. В. Чаплик, Письма в ЖЭТФ **93**, 228 (2011).
4. М. В. Entin, L. I. Magarill, E. B. Olshanetsky et al., ZhETF **144**, 1068 (2013).
5. В. М. Ковалев, А. В. Чаплик, Письма в ЖЭТФ **93**, 442 (2011).
6. А. В. Чаплик, Письма в ЖЭТФ **91**, 201 (2010).
7. Э. Г. Батыев, ЖЭТФ **137**, 101 (2010).
8. A. V. Chaplik and M. V. Krasheninnikov, Surface Science **98**, 533 (1980).
9. А. В. Каламейцев, А. О. Говоров, Х.-Д. Кутчер, А. Виксфорд, Письма в ЖЭТФ **72**, 273 (2000).
10. Л. Д. Ландау, Е. М. Лифшиц, *Курс теоретической физики*, Наука, Москва (1965). Т. VII: *Теория упругости*.
11. В. П. Сонин, ЖЭТФ **38**, 977 (1960).
12. М. В. Крашенинников, М. Б. Султанов, А. В. Чаплик, ЖЭТФ **77**, 1636 (1979).
13. Р. З. Витлина, А. В. Чаплик, ЖЭТФ **81**, 1011 (1981).
14. М. В. Крашенинников, А. В. Чаплик, ЖЭТФ **75**, 1907 (1978); **76**, 1812 (1979); ФТТ **21** (1979).
15. Л. И. Магарилл, А. В. Чаплик, ЖЭТФ **93**, 2257 (1987).